



## بهینه‌سازی چند هدفی پمپ روغن گریز از مرکز

محمدحسن شجاعی‌فرد<sup>۱</sup>، ابوالفضل خلخالی<sup>۲</sup>، مجتبی طحانی<sup>۳\*</sup>، بهزاد سلیمانی‌ریزی<sup>۴</sup>

- ۱- استاد، دانشکده مهندسی مکانیک، دانشگاه علم و صنعت ایران، تهران
- ۲- استادیار، دانشکده مهندسی خودرو، دانشگاه علم و صنعت ایران، تهران
- ۳- استادیار، دانشکده علوم و فنون نوین، دانشگاه تهران، تهران
- ۴- دانشجوی کارشناسی ارشد، دانشکده مهندسی مکانیک، دانشگاه علم و صنعت ایران، تهران

\* تهران، صندوق پستی ۱۶۸۴۴ tahani@iust.ac.ir

**چکیده-** عملکرد پمپ‌های گریز از مرکز بسیار متأثر از مقدار لزجت سیال عبوری از آنها می‌باشد. از این‌رو بهینه‌سازی پمپ گریز از مرکز جهت بهکارگیری سیال با لزجت‌های مختلف از اهمیت بی‌نظیر دارد. در این مقاله بهینه‌سازی چند هدفی پروانه پمپ گریز از مرکز برای کار در دبی‌های حجمی و لزجت‌های مختلف سیال عبوری از آن انجام شده است. در این فرایند توابع هدف بکار گرفته شده تابع هد تئوری ( $H_{th}$ ) و اتفاقات هیدرولیکی پروانه ( $Z_{La}$ ) می‌باشند. زاویه خروجی پره ( $\beta_{2B}$ ) و پهنهای خروجی پاساژ پره ( $b_2$ ) عنوان متغیرهای طراحی در نظر گرفته می‌شوند. نمودار پارت و فضای متغیرهای طراحی بهینه حاصل از بهینه‌سازی چند هدفی برای ویسکوزیته‌های سینماتیکی و دبی حجمی‌های مختلف ترسیم شده است و مقادیر نقاط بهینه پیشنهادی برای متغیرهای طراحی با استفاده از روش نقطه شکست، روش تاپسیس و روش نزدیکترین نقطه به نقطه ایده‌آل بدست آمده است. این نقاط پیشنهادی حاوی نکات قابل توجه برای طراحان پمپ هستند که بدون استفاده از بهینه‌سازی چند هدفی قابل محاسبه نبودند.

**کلیدواژگان:** پمپ گریز از مرکز، هد تئوری، اتفاقات هیدرولیکی پروانه، زاویه خروجی پره، پهنهای پاساژ چرخ متحرک.

## Multi objective optimization of the centrifugal oil pump impeller

M. H. Shojaeefard<sup>1</sup>, A. Khalkhali<sup>2</sup>, M. Tahani<sup>\*3</sup>, B. Salimian rizi<sup>4</sup>

1- Prof., School of Mech. Eng., Iran Univ. of Science and Tech., Tehran, Iran

2- Assist. Prof., School of Automotive Eng., Iran Univ. of Science and Tech., Tehran, Iran

3- Assist. Prof., Faculty of New Sciences and Tech., Univ. of Tehran, Tehran, Iran

4- MSc. Student, School of Mech. Eng., Iran Univ. of Science and Tech., Tehran, Iran

\* P.O.B. 16844, Tehran, Iran. tahani@iust.ac.ir

**Abstract-** Centrifugal pumps performance is highly affected by working fluid viscosity. So, optimization of such pumps for pumping of viscose fluids is very important. In this paper, multi-objective optimization of the centrifugal pumps is performed to obtain optimum impellers for pumping fluids with various viscosities at different volumetric flow rates. In this way, theoretical head and impeller hydraulic losses are considered as objective functions. Design variables defined in this optimization problem are passage width of impeller and outlet angle of blade. Diagrams of Pareto fronts and Pareto sets are extracted for different viscosities and different volumetric flow rates. Some trade-off optimum design points are selected from all non-dominated points using three different methods namely break point, TOPSIS and near to ideal point. Obtained optimum points contain interesting results which cannot be achieve without using proposed multi-objective approach.

**Keywords:** Centrifugal Pump, Theoretical Head, Impeller Hydraulic Losses, Impeller Passage Width, Blade Outlet Angle.

## ۱- مقدمه

آن، رشد فزاینده‌ای در حل مسائل بهینه‌سازی داشته و در حل مسائل تک هدفی و چند هدفی کاربرد وسیعی پیدا کرده است [۸-۵]. الگوریتم بهینه‌سازی چند هدفی NSGA II (که بر اساس الگوریتم زنتیک پایه‌گذاری شده است) توسط دب برای حل مسائل چند هدفی در سالهای اخیر پیشنهاد گردیده است [۹]. به دلیل مشکلاتی که در زیربرنامه تنوع‌گرایی آن وجود دارد، الگوریتم مذکور در حل مسائل با بیش از دوتابع هدف با مشکل مواجه است [۱۰]. برای مرتفع کردن مشکلات فوق، ضمن بر طرف نمودن مشکلات ساختاری الگوریتم NSGA II، از زیربرنامه جایگزین ابسلین- الیمینشن<sup>۴</sup> برای اصلاح الگوریتم زنتیک استفاده می‌شود. از این الگوریتم اصلاح شده در مسائل بهینه‌سازی چند هدفی متعددی تاکنون استفاده شده است [۱۱-۱۳].

در این مقاله، بهینه‌سازی چندهدفی پمپ گریز از مرکز مدل ۶۵-۲۰۰ ساخت شرکت پمپیران هنگام انتقال روغن انجام شده است. در ابتدا معادلات مربوط به هد تئوری و اتفاقات هیدرولیکی پردازه پمپ گریز از مرکز ارائه شده است. با توجه به این که دو پارامتر مقدار ویسکوزیتّه سیال و دبی حجمی سیال عبوری از پمپ نقش اساسی در مقدار اتفاقات هیدرولیکی پردازه دارد و همچنین این اتفاقات بخش وسیعی از اتفاقات هیدرولیکی پمپ را تشکیل می‌دهند، مقدار اتفاقات هیدرولیکی پردازه به عنوان یکی از توابع هدف در نظر گرفته شده است. تابع هد دیگر هد تئوری است که مقدار آن وابسته به مقادیر مثلثهای سرعت در ورودی و خروجی پردازه می‌باشد. بهینه‌سازی چندهدفی برای کاهش اتفاقات هیدرولیکی پردازه و افزایش مقدار هد تئوری با استفاده از الگوریتم اصلاح شده NSGA II انجام شده است.

## ۲- تحلیل تئوری اتفاقات هیدرولیکی پردازه و هد تئوری

در ابتدا مقادیر هد واقعی، بازده هیدرولیکی پمپ بر اساس روابط (۱) و (۲) محاسبه می‌شوند.

$$H_{\text{actual}} = H_{\text{th}} - (Z_{\text{La}} + Z_{\text{Le}} + Z_{\text{EA}}) \quad (1)$$

$$\eta_h = 1 - \frac{Z_{\text{La}} + Z_{\text{Le}} + Z_{\text{EA}}}{H_{\text{th}}} \quad (2)$$

### 4. ε-Elimination

با توجه به اهمیت بهینه‌سازی مصرف انرژی در پمپ‌ها طراحی بهینه پمپ‌های گریز از مرکز موضوع بسیاری از تحقیقات اخیر بوده است. در سال ۲۰۰۶، آنتوناکیس و همکاران با استفاده از مدل جریان پتانسیل به تحلیل جریان در بین پره‌های پمپ گریز از مرکز پرداختند و سپس با استفاده از الگوریتم زنتیک هبیرید به بهینه‌سازی پارامترهای هندسی پردازه پرداختند [۱]. در سال ۲۰۰۷، نریمان‌زاده و همکاران با بکارگیری الگوریتم زنتیک، بهینه‌سازی چند هدفی بر روی پمپ آب گریز از مرکز انجام دادند که در آن هد، توان ورودی و بازده هیدرولیکی به عنوان توابع هدف و دبی حجمی آب ورودی به پمپ و شعاع خارجی پردازه بعنوان متغیرهای طراحی در نظر گرفته شده‌اند [۲]. در سال ۲۰۱۰، صفحه‌خانی و همکاران با بکارگیری نرم‌افزار نومکا<sup>۱</sup>، شبکه عصبی و الگوریتم زنتیک به بهینه‌سازی چندهدفی پمپ گریز از مرکز پرداخته‌اند. در تحقیق مذکور ابتدا پارامترهای بازده‌هو ارتفاع مثبت خالص مکش بصورت عددی توسط نرم‌افزار نومکا محاسبه می‌شوند. سپس با استفاده از شبکه عصبی جی ام دی اج<sup>۲</sup>، روابط چندجمله‌ای بین متغیرهای طراحی و توابع هدف بدست آمده و در نهایت با ورود این چندجمله‌ای‌ها به الگوریتم زنتیک بهینه‌سازی انجام شده است [۳].

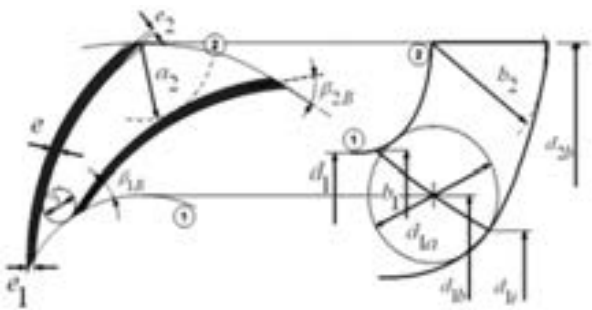
در برخورد با مسائل مهندسی غالباً با چند تابع هدف مواجه شده که لازم است به صورت همزمان بهینه شوند. در این نوع مسائل غالباً بهبود در یکی از توابع هدف باعث بدتر شدن تابع یا توابع هدف دیگر می‌شود. این دسته از مسائل، مسائل بهینه‌سازی چند هدفی نامیده می‌شود. در مسائل بهینه‌سازی چند هدفی مجموعه‌ای از بردارهای طراحی بهینه به عنوان جواب مسأله معرفی می‌شوند، که پارتو خوانده می‌شوند [۴]. طراح با توجه به نیاز خود و درجه اهمیتی که برای توابع هدف در نظر می‌گیرد یکی از این بردارها را بر می‌گزیند.

الگوریتم زنتیک از جمله الگوریتم‌های تکاملی است که در حل مسائل بهینه‌سازی کاربرد وسیعی پیدا کرده است. همچنین به دلیل عملکرد مطلوب در فضاهای جستجوی نامعین و استفاده مستقیم از مقادیر تابع و عدم نیاز به مشتق

1. NUMECA

2. NPSHR

3. GMDH



شکل ۱ پروانه پمپ گریز از مرکز

جدول ۱ مشخصات هندسی پروانه

اندازه‌ها	ابعاد	پارامترها
۲۴	(mm)	$a_1$
۶		$N$
۱۰۰	(mm)	$\varepsilon_{CLA}$
۳/۵	(mm)	$e$
۳/۵	(mm)	$e_2$
۳/۵	(mm)	$e_1$
۱۰۳	(mm)	$d_{lb}$
۲۰۹	(mm)	$d_{2b}$
۳۴	(mm)	$b_1$
۳۰	(degree)	$\beta_{IB}$

روابط مربوط به  $Re$  و  $\varepsilon$  در روابط (۱۰) و (۱۱) آورده شده است.

$$Re = \frac{W_{av} L_{sch}}{\nu} \quad (10)$$

$$\varepsilon = \frac{6 \cdot \varepsilon_{CLA}}{C_{eq}} \quad (11)$$

در روابط ۱۰ و ۱۱،  $\nu$  بیانگر مقدار ویسکوزیتّه سیال کاری،  $C_{eq}$  و  $\varepsilon_{CLA}$  به ترتیب بیانگر زبری میانگین سطوح و ضریب هم ارزی می‌باشد. مقدار  $\varepsilon_{CLA}$  براساس نتست تجربی ۱۰۰ میکرومتر [۱۴] و  $C_{eq}$  برابر ۲/۶ در نظر گرفته می‌شود [۱۵]. اتفاقات ناشی از شوک در ورودی پروانه از رابطه (۱۲) محاسبه می‌شود.

$$Z_{La,c} = \frac{0.15}{g} (W_{Im}^2 - W_{1q}^2) W_{1q} \quad (12)$$

بیانگر مقدار بردار سرعت در گلوگاه ورودی پروانه می‌باشد که بر اساس رابطه (۱۳) بدست می‌آید.

در روابط بالا  $Z_{Le}$ ،  $Z_{La}$  و  $H_{th}$  به ترتیب بیانگر اتفاقات هیدرولیکی پروانه، دیفیوزر و حلزونی و هد تغیری می‌باشد. از آنجا که عملیات بهینه‌سازی روی پروانه پمپ انجام شده و مقدار اتفاقات هیدرولیکی پروانه بخش وسیعی از اتفاقات هیدرولیکی درون پمپ را تشکیل می‌دهد، لذا فقط اتفاقات هیدرولیکی پروانه در نظر گرفته شده که بصورت رابطه (۳) نوشته می‌شود.

$$Z_{La} = Z_{La,R} + Z_{La,C} \quad (3)$$

که در آن  $Z_{La,R}$  بیانگر اتفاقات اصطکاکی و اختلاطی و  $Z_{La,C}$  نماینده اتفاقات ناشی از شوک در ورودی پروانه می‌باشد. رابطه  $Z_{La,R}$  بصورت رابطه (۴) است.

$$Z_{La,R} = 2 \cdot C_d \cdot \frac{L_{sch}}{g \cdot D_h} \cdot W_{av}^2 \quad (4)$$

در رابطه (۴)،  $C_d$ ،  $D_h$ ،  $L_{sch}$ ،  $W_{av}$  و  $g$  به ترتیب بیانگر سرعت نسبی متوسط در کanal پروانه، طول پره، قطر هیدرولیکی، ضریب استهلاک و شتاب گرانش می‌باشند. روابط مربوط به  $C_d$  و  $D_h$  به ترتیب براساس روابط (۵) و (۶) می‌باشد.

$$W_{av} = \frac{2 \cdot Q}{N_{La} \cdot (a_2 b_2 + a_1 b_1)} \quad (5)$$

$$D_h = \frac{2 \cdot (a_2 b_2 + a_1 b_1)}{a_1 + b_1 + a_2 + b_2} \quad (6)$$

$$C_d = (C_f + 0.0015) \cdot (1.1 + 4 \cdot \frac{b_2}{d_2}) \quad (7)$$

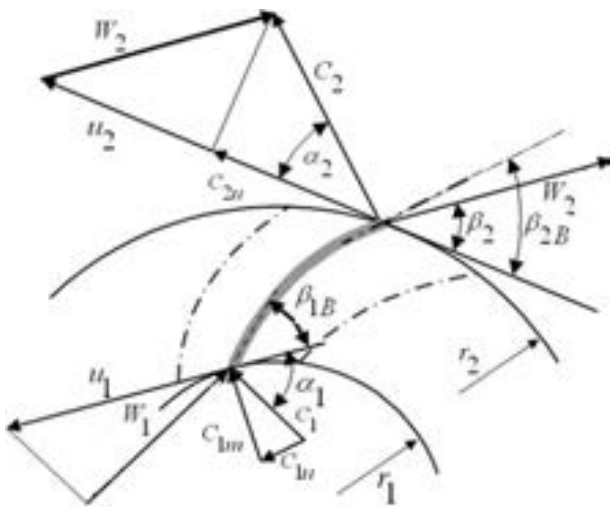
در روابط بالا  $Q$  بیانگر میزان دبی حجمی سیال عبوری از پمپ،  $N$  تعداد پرهای پروانه،  $C_f$  ضریب اصطکاک کanal‌های هیدرولیکی می‌باشد. پارامترهای هندسی پروانه  $a_1$ ،  $a_2$ ،  $b_1$  و  $b_2$  در شکل ۱ نشان داده شده‌است. مقادیر  $a_1$ ،  $a_2$  و  $b_1$  در جدول ۱ داده شده‌است. مقادیر  $a_2$  و  $b_2$  به ترتیب از روابط (۸) و (۹) محاسبه می‌شوند.

$$a_2 = \frac{0.95\pi \cdot d_{2b} \cdot \sin \beta_{2B}}{N} \quad (8)$$

$$C_f = \frac{0.136}{\left( -\log(0.2 \frac{\varepsilon}{L_{sch}} + \frac{12.5}{Re}) \right)^{2.15}} \quad (9)$$

که  $\varepsilon$  بیانگر زبری معادل شن<sup>۱</sup> می‌باشد [۱۵].

## 1. Equivalent Sand Roughness



شکل ۲ مثلاهای سرعت در ورودی و خروجی پروانه [۱۴]

### ۳- بهینه‌سازی چند هدفی

صورت استاندارد مسائل بهینه‌سازی چند هدفی را می‌توان بصورت زیر بیان کرد:

یافتن بردار طراحی  $X = [x_1^*, x_2^*, \dots, x_n^*]^T$  بهنحوی که بردار هدف زیر را با توجه به قیود زیر بهینه کند.

$$f(X) = [f_1(X), f_2(X), \dots, f_m(X)]^T \quad (22)$$

$k$  قید مساوی به صورت رابطه (۲۳)

$$h_i(X) = 0 \quad i = 1, 2, \dots, k \quad (23)$$

و  $l$  قید نامساوی به صورت رابطه (۲۴) می‌باشد.

$$g_j(X) \leq 0 \quad j = 1, 2, \dots, l \quad (24)$$

در یک بهینه‌سازی چند هدفی بردار  $V = [v_1, v_2, \dots, v_k]^T \in \mathbb{R}^k$  بر  $U = [u_1, u_2, \dots, u_k]^T \in \mathbb{R}^k$  (که بصورت  $U < V$  نشان داده می‌شود) برتری می‌یابد، اگر و تنها اگر:

$\forall i \in \{1, 2, \dots, k\}, u_i \leq v_i \wedge \exists j \in \{1, 2, \dots, k\} : u_j \leq v_j$  به عبارت دیگر حداقل یک  $u_j$  که از  $v_j$  کمتر است، وجود دارد در حالی که  $u$  های باقی‌مانده، کوچک‌تر یا مساوی  $v$  های نظریشان هستند.

نقطه  $X^* \in \Omega$  یک منطقه امکان‌پذیر در دامنه  $\mathbb{R}^n$  می‌باشد) بردار طراحی بهینه (کمینه) نامیده می‌شود، اگر و تنها اگر ( $F(X^*) < F(X)$ . به عبارت دیگر این تعریف می‌گوید که نقطه  $X^*$  یک نقطه بهینه پارتول است اگر هیچ برداری مانند

$$W_{1q} = \frac{Q}{N \cdot a_1 \cdot b_1} \quad (13)$$

هد تئوری در پمپ نیز از رابطه (۱۴) محاسبه می‌شود.

$$H_{th} = \frac{1}{2g} (u_2^2 - u_1^2 + w_1^2 - w_2^2 + c_2^2 - c_1^2) \quad (14)$$

که  $u$ ,  $w$  و  $c$  به ترتیب بیانگر بردارهای سرعت محیطی، نسبی و مطلق می‌باشد. اندیس‌های ۱ و ۲ نیز به ترتیب بیانگر مقاطع ورودی و خروجی پروانه می‌باشد. روابط مربوط به بردارهای سرعت در (۱۵) تا (۱۷) آورده شده‌است. همچنین شکل مثلثهای سرعت در ورودی و خروجی پروانه در شکل ۲ نشان داده شده است.

$$u = \frac{\pi \cdot d \cdot n}{60} \quad (15)$$

$$c = \sqrt{c_m^2 + c_u^2} \quad (16)$$

$$w = \sqrt{c_m^2 + (u - c_u)^2} \quad (17)$$

در روابط بالا اندیس‌های  $m$  و  $u$  به ترتیب بیانگر مؤلفه‌های سرعت مطلق در دو راستای نصف‌النهاری و محیطی می‌باشد. با توجه به این که جریان در ورودی به چرخ متحرک هیچ چرخشی ندارد، مؤلفه مماسی سرعت مطلق برابر صفر خواهد شد ( $c_{1u} = 0$ ) در اینصورت مؤلفه سرعت مطلق در ورودی  $c_1 = c_{1m}$  فقط شامل مؤلفه نصف‌النهاری خواهد بود و مقادیر  $c_1$  و  $c_{1m}$  باهم برابر خواهند شد. مقادیر  $c_m$  و  $c_{2u}$  به ترتیب از روابط (۱۸) و (۱۹) محاسبه خواهند شد.

$$c_m = \frac{Q}{\pi \cdot d \cdot b} \quad (18)$$

$$c_{2u} = u_2 \cdot (\gamma - \frac{c_{2m} \cdot \tau_2}{u_2 \cdot \tan \beta_{2B}}) \quad (19)$$

که مقادیر  $\gamma$  و  $\tau_2$  که به ترتیب بیانگر ضریب لغزش و انسداد پره می‌باشند از روابط (۲۰) و (۲۱) محاسبه می‌شوند.

$$\gamma = f_1 \cdot (1 - \frac{\sqrt{\sin \beta_{2B}}}{N^{0.7}}) \cdot k_w \quad (20)$$

$$\tau_2 = \left( 1 - \frac{e_2 \cdot N}{\pi \cdot d_2 \cdot \sin \beta_{2B}} \right)^{-1} \quad (21)$$

پارامتر  $k_w$  بیانگر تأثیر قطر ورودی پروانه بر مقدار ضریب لغزش می‌باشد و رابطه آن در مرجع [۱۵] آورده شده‌است. مقدار  $f_1$  برابر  $0.98$  در نظر گرفته می‌شود [۱۵]. پارامتر  $e$  هم بیانگر ضخامت پره می‌باشد.

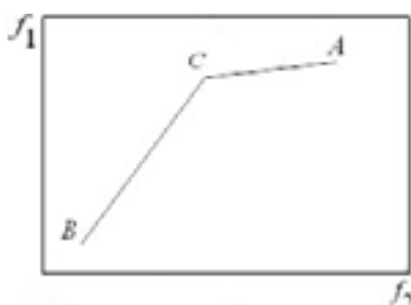
#### ۴- انتخاب نقاط پیشنهادی از بین نقاط پارتو

##### ۱-۴- روش نقطه‌ی شکست

در شکل ۳ نمودار شماتیک منحنی پارتو که حاصل از بیشینه کردن  $f_1$  و کمینه کردن  $f_2$  بصورت همزمان است و دارای نقطه شکست می‌باشد، ترسیم شده است که نقطه شکست در آن با حرف C نشان داده شده است. نقاط A و B بیانگر نقاط حاصل از بهینه‌سازی تک هدفی هستند. در صورتیکه هدف بیشنه کردن  $f_1$  باشد به نقطه A و در صورتی که هدف کمینه کردن  $f_2$  باشد نقطه B بدست می‌آید. موقعیت نقطه شکست به گونه‌ای است که از مقایسه نقطه C با نقطه A مشخص است که مقدار اتفاقات هیدرولیکی پروانه افزایش ناگهانی دارد در صورتی که مقدار هد تئوری افزایش اندکی خواهد داشت. همین وضعیت بصورت معکوس از مقایسه C با B وجود دارد. از این‌رو می‌توان نقطه C را به عنوان نقطه بهینه پیشنهادی بهشمار آورد.

##### ۲-۴- نزدیک ترین فاصله به نقطه ایده‌آل

در این روش ابتدا مقادیر مربوط به توابع هدف (تابع اتفاقات هیدرولیکی پروانه و تابع هد تئوری در این مقاله) در بازه صفر تا یک نگاشت می‌شود تا مقادیر این دو تابع از لحاظ مرتبه‌ای یکسان شوند. توابع هدف جدید با  $\bar{f}_1$  و  $\bar{f}_2$  نشان داده می‌شوند. نقطه ایده‌آل که وجود خارجی ندارد نقطه‌ای است که در آن  $\bar{f}_1$  و  $\bar{f}_2$  هر کدام بهترین مقدار را دارند. این نقطه بصورت شماتیک در شکل ۴ با I نشان داده شده است. فاصله هر یک از نقاط بهینه که دارای مختصات  $(a_i, b_i)$  می‌باشد، مطابق رابطه (۲۷) و با توجه به شکل ۴ از نقطه ایده‌آل بدست می‌آید. در مرحله آخر مختصات نقطه‌ای که کوتاه‌ترین فاصله را تا نقطه ایده‌آل دارد به عنوان نقطه بهینه پیشنهادی انتخاب می‌شود.



شکل ۳ نمودار پارتو رسم شده و موقعیت نقطه شکست

X در محدوده مجاز طراحی وجود نداشته باشد که باعث ایجاد کاهش در بعضی از معیارهای هدف داده شود بدون آن که افزایش مشابهی را در سایر معیارهای هدف داشته باشد. جوابهای پارتو بصورت یک مجموعه جواب هستند که هیچ برتری نسبت به هم ندارند و به آنها مجموعه جوابهای غیر برتر می‌گویند.

پارتو ست<sup>۱</sup>  $P^*$  (بردارهای طراحی بهینه متناظر با جبهه پارتو) مطابق رابطه ۲۵ یک مجموعه‌ای است که شامل همه بردارهای طراحی بهینه است.

$$P^* = \left\{ X \in \Omega \mid \nexists X' \in \Omega : F(X') < F(X) \right\} \quad (25)$$

که در آن  $X'$  دیگری بعنوان بردار متغیرهای طراحی در  $\Omega$  وجود نداشته باشد که برتری بر هر  $X \in P^*$  داشته باشد. جبهه پارتو<sup>۲</sup>  $PT^*$ ، مطابق رابطه (۲۶) برداری شامل توابع هدف است که متناظر با پارتو ست می‌باشد.

$$PT^* = \left\{ F(X) = (f_1(X), f_2(X), \dots, f_k(X)) : X \in P^* \right\} \quad (26)$$

از الگوریتم ژنتیک به طور گسترده‌ای در سال‌های اخیر برای حل بهینه مسائل پیچیده مهندسی و علوم استفاده شده است. در این روش برخلاف روش‌های تک مسیری، فضای جواب بطور همه جانبه جستجو می‌شود، از این‌رو احتمال همگرایی در نقاط بهینه محلی به مراتب کاهش می‌یابد. امتیاز دیگر این الگوریتم آن است که برای به دست آوردن نقاط بهینه از مشتق یا گرادیان تابع استفاده نمی‌کند. در نتیجه هیچ محدودیتی برای تابع بهینه شونده، مانند مشتق‌پذیری یا پیوستگی لازم ندارد و در روند جستجو تنها به تعیین مقدار تابع هدف در نقاط مختلف نیاز دارد. از این‌رو می‌توان از الگوریتم ژنتیک در مسائل مختلف اعم از خطی، پیوسته یا گسسته استفاده کرد [۱۱-۱۳].

الگوریتم ژنتیک در حل مسائل بهینه‌سازی چند هدفی نیز بسیار خوب عمل می‌کند. در بهینه‌سازی چند هدفی همانگونه که اشاره گردید چند تابع هدف بطور همزمان بهینه می‌گرددند. در این گونه مسائل برخلاف مسائل تک هدفی که تنها یک نقطه اکسترمم برای مسئله وجود دارد، مجموعه‌ای از بردارهای طراحی بعنوان جواب بدست می‌آیند که اصطلاحاً نقاط پارتو خوانده می‌شوند و طراح مسئله بر اساس نیاز خود یکی از این نقاط را به عنوان جواب بهینه بر می‌گزیند.

1. Pareto Set

2. Pareto Front

(۳۱) ظاهر خواهد شد.

$$\hat{S} = [\hat{s}_{11}, \hat{s}_{12} : \hat{s}_{21}, \hat{s}_{22} : \dots : \hat{s}_{\tau 1}, \hat{s}_{\tau 2}] \quad (32)$$

در مرحله چهارم مقادیر  $S^+$  و  $S^-$  با توجه به روابط (۳۳) و (۳۴) محاسبه خواهند شد.

$$S^+ = (\max(\hat{s}_{11}, \hat{s}_{21}, \dots, \hat{s}_{\tau 1}), \min(\hat{s}_{12}, \hat{s}_{22}, \dots, \hat{s}_{\tau 2})) \quad (33)$$

$$S^- = (\min(\hat{s}_{11}, \hat{s}_{21}, \dots, \hat{s}_{\tau 1}), \max(\hat{s}_{12}, \hat{s}_{22}, \dots, \hat{s}_{\tau 2})) \quad (34)$$

در مرحله پنجم مقادیر جداسده  $h_i^+$  و  $h_i^-$  برای هر یک از نقاط نمودار پارتون مطابق روابط (۳۵) و (۳۶) محاسبه می‌شود.

$$\text{for } i = 1, 2, 3, \dots, \tau \quad h_i^+ = \sqrt{\sum_{j=1}^2 (\hat{s}_{ij} - s_j^+)^2} \quad (35)$$

$$i = 1, 2, 3, \dots, \tau \quad \text{for } h_i^- = \sqrt{\sum_{j=1}^2 (\hat{s}_{ij} - s_j^-)^2} \quad (36)$$

در مرحله ششم، پارامتر  $H_i$  که بیانگر دقت نسبی می‌باشد برای هر نمودار پارتون مطابق رابطه (۳۷) محاسبه می‌شود.

$$H_i = \frac{h_i^-}{h_i^+ + h_i^-} \quad (37)$$

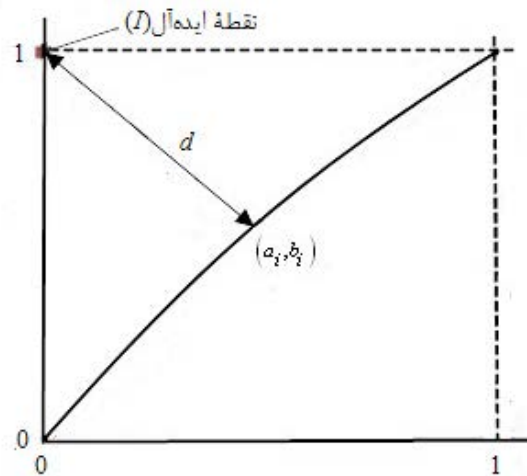
که مقدار آن در بازه صفر و یک قرار می‌گیرد ( $0 \leq H_i \leq 1$ ). در مرحله آخر، مقدار  $H_i$  که به عدد یک نزدیکتر است، انتخاب شده و بدین صورت مقادیر توابع هدف و متغیرهای طراحی بهینه پیشنهادی بر اساس مقدار ماکریم  $H_i$  تعیین خواهد شد.

## ۵- بهینه‌سازی چند هدفی پمپ روغن گریز از مرکز

روابط تحلیلی استخراج شده در بخش دوم، در این قسمت برای بهینه‌سازی چند هدفی پمپ روغن گریز از مرکز استفاده می‌شوند. در این مقاله مسئله بهینه‌سازی بصورت رابطه (۳۸) در نظر گرفته شده است.

$$\begin{cases} \text{Maximize } f_1 = H_{th} & \text{(هد نئوری)} \\ \text{Minimize } f_2 = Z_{La} & \text{(اتلافات هیدرولیکی پروانه)} \\ \text{Subject to } \begin{cases} 17\text{mm} \leq b_2 \leq 21\text{mm} \\ 25^\circ \leq \beta_{2B} \leq 35^\circ \end{cases} & \end{cases} \quad (38)$$

قابل ذکر است که بر اساس طراحی اولیه چرخ پمپ گریز از مرکز مذکور در شرکت پمپیران، پهنانی پاساژ ۱۷ میلی‌متر هنگام انتقال آب طراحی شده است. اما با توجه به افزایش



شکل ۴ نمودار پارتون رسم شده بر اساس نقاط نگاشت شده

$$d = \sqrt{a_i^2 + (b_i - 1)^2} \quad (27)$$

### ۳-۴- روش تاپسیس

روش سوم بکار گرفته شده برای تعیین نقطه بهینه پیشنهادی بر اساس نمودار پارتون شده، روش تاپسیس است. این روش طی چند مرحله انجام می‌شود.

در مرحله اول، ابتدا مقادیر توابع هدف ( $S$ ) و وزن هر کدام از توابع هدف ( $W$ ) دریافت می‌شوند. به گونه‌ای که  $\bar{S}_{ij}$  بیانگر نقطه بهینه نام از زمین تابع هدف می‌باشد.  $w_j$  نماینده وزن  $j$ -امین تابع هدف است که باید معادله زیر را ارضاء نماید.

$$\sum_{j=1}^2 w_j = 1 \quad (28)$$

در مرحله دوم مقادیر ماتریس مقادیر  $\bar{S}_{ij}$  بر اساس معادله (۲۹) نرمال‌سازی خواهد شد.

$$i = 1, 2, 3, \dots, \tau \quad j = 1, 2 \quad \text{for } \bar{S} = \frac{\bar{S}_{ij}}{\sqrt{\sum_{i=1}^{\tau} \bar{S}_{ij}^2}} \quad (29)$$

و ماتریس  $\bar{S}$  بصورت رابطه (۳۰) خواهد شد.

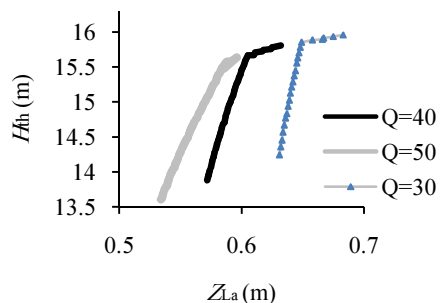
$$\bar{S} = [\bar{s}_{11}, \bar{s}_{12} : \bar{s}_{21}, \bar{s}_{22} : \dots : \bar{s}_{\tau 1}, \bar{s}_{\tau 2}] \quad (30)$$

در مرحله سوم درایه‌های ماتریس نرمال‌سازی شده طبق رابطه (۳۱) در مقدار تابع وزنی ضرب خواهد شد.

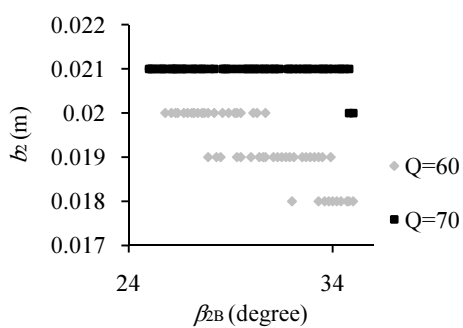
$$\hat{s}_{ij} = w_j \times \bar{s}_{ij} \quad (31)$$

به این صورت ماتریس نرمال‌سازی شده وزنی بصورت معادله

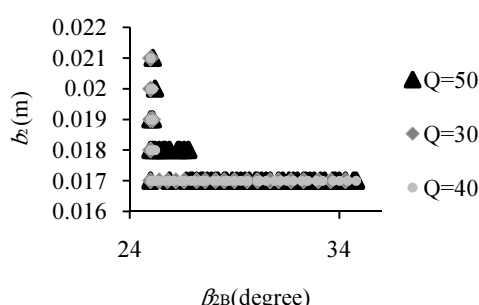
### 1. Separation Measure



ب-نمودار پارتو



ج-فضای متغیرهای طراحی بهینه متناظر با نمودار الف



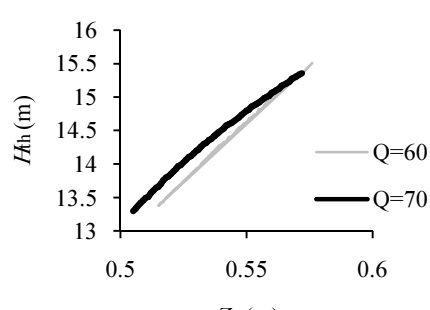
د-فضای متغیرهای طراحی بهینه متناظر با نمودار ب

شکل ۵ نمودار پارتو و فضای متغیرهای طراحی برای ویسکوزیتّه سانتی استوکس

با توجه به نمودارهای پارتو رسم شده برای دبی حجمی و ویسکوزیتّه های سینماتیکی مختلف مشاهده می شود با حرکت از سمت چپ به سمت راست روی نقاط پارتو مقدار هد تئوری و اتلافات هیدرولیکی پرتوانه افزایش می یابند که اولی مطلوب و دومی گزینه ای نامطلوب به شمار می رود.

اتلافات هیدرولیکی هنگام پمپاژ روغن به دلیل افزایش لرجه سیال، نیاز به کاهش مقاومت هیدرولیکی به کمک افزایش سطح مقطع عبوری سیال و افزایش پهنهای پاساز وجود دارد. به دلیل محدودیت کیسینگ<sup>۱</sup> پمپ این افزایش باید تا حدی صورت گیرد که منجر به افزایش اتلافات مکانیکی نشود. لذا، بر اساس این محدودیت‌ها و استانداردهای موجود مقدار حداقل پهنهای پاساز ۲۱ میلی‌متر در نظر گرفته شده است. در مورد زاویه خروجی پره نیز با انجام مطالعات تحلیلی بر روی مثلث سرعت خروجی چرخ متحرک می‌توان به این نتیجه رسید که با افزایش زاویه خروجی پره و در نتیجه هد جنبشی سیال سرعت مطلق در خروجی پره و در نتیجه هد جنبشی سیال افزایش می‌یابد و در نتیجه هد پتانسیل کاهش یافته و نیز اتلافات جنبشی سیال در خروجی پمپ به شدت افزایش می‌یابد. مشخصات هندسی پرتوانه مورد نظر در جدول ۱ نشان داده شده است. سرعت دورانی پمپ ۱۴۵۰ دور بر دقیقه در نظر گرفته می‌شود. در این بهینه‌سازی، جمعیت اولیه، احتمال پیوند و احتمال جهش به ترتیب برابر با ۰/۷، ۰/۳۰ و ۰/۰۷ در نظر گرفته می‌شود.

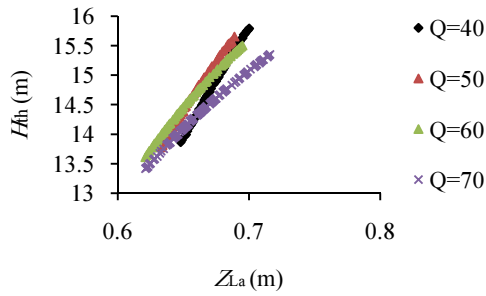
نمودار پارتو و فضای متغیرهای طراحی بهینه حاصل از بهینه‌سازی چند هدفی برای دبی حجمی‌های ۳۰، ۴۰، ۵۰، ۶۰ و ۷۰ مترمکعب بر ساعت به ازای سه مقدار ویسکوزیتّه سینماتیکی ۱، ۴۳ و ۱۰۰ سانتی استوکس به ترتیب در شکل‌های ۵ تا ۷ ارائه شده است. نمودارهای پارتو در قسمت الف و ب و فضای متغیرهای طراحی بهینه در قسمت‌های ج و د نشان داده شده است.



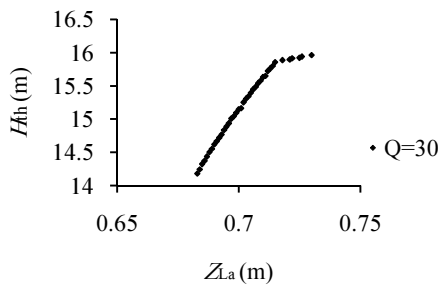
الف-نمودار پارتو

## 1. Casing

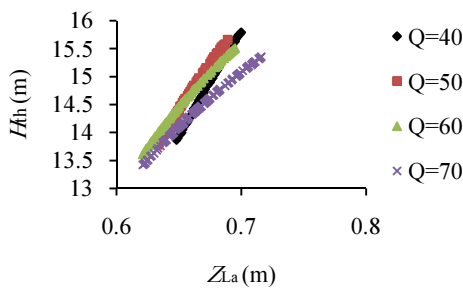
نمی‌باشد و طراح می‌تواند با توجه به نیاز خود از بین این نقاط دست به انتخاب بزند.



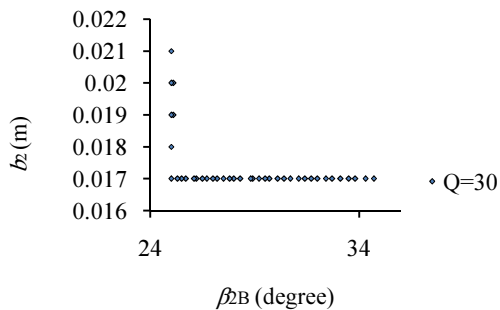
الف- نمودار پارتو



ب- نمودار پارتو

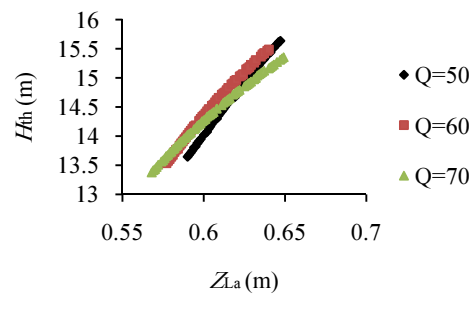


ج- فضای متغیرهای طراحی بهینه متناظر با نمودار الف

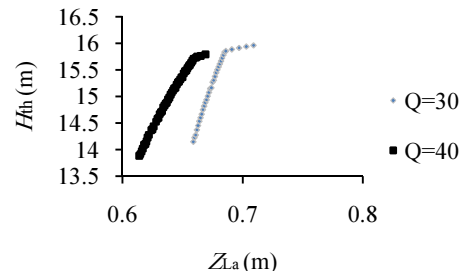


د- فضای متغیرهای طراحی بهینه متناظر با نمودار ب

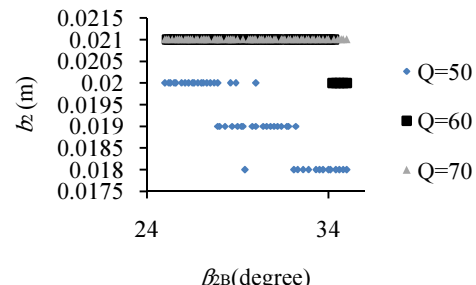
شکل ۷ نمودار پارتو و فضای متغیرهای طراحی برای ویسکوزیتۀ ۱۰۰ سانتی استوکس



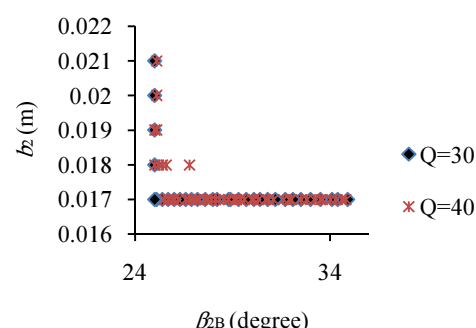
الف- نمودار پارتو



ب- نمودار پارتو



ج- فضای متغیرهای طراحی بهینه متناظر با نمودار الف



د- فضای متغیرهای طراحی بهینه متناظر با نمودار ب

شکل ۶ نمودار پارتو و فضای متغیرهای طراحی برای ویسکوزیتۀ ۴۳ سانتی استوکس

لذا هیچ کدام از نقاط پارتو نسبت به همدیگر دارای برتری

مقادیر متغیرهای طراحی و توابع هدف برای نقاط بهینه پیشنهادی که با استفاده از این دو روش برای نقاط پارتول متناظر با ویسکوزیتهای و دبی‌های حجمی مختلف بدست آمده‌اند در جدول ۲ نشان داده شده‌است. همچنین در این جدول برای بررسی بهتر، مقادیر مربوط به بهینه‌سازی تک‌هدفی با در نظر گرفتن هدف تئوری و اتلافات هیدرولیکی پردازه به عنوان توابع هدف مجزا ارائه شده است.

در شکل‌های ۵ تا ۷، با توجه به نمودارهای فضای متغیرهای طراحی رسم شده برای دبی حجمی و ویسکوزیتهای سینماتیکی مختلف، مشاهده می‌شود که جهت گیری فضای متغیرهای طراحی بهینه متناظر با دبی حجمی‌های پایین‌تر از  $Q_0$  که در قسمت (ج) هر شکل نشان داده شده است به سمت چپ و پایین نمودار می‌باشد. این در حالی است که فضای متغیرهای طراحی بهینه متناظر با دبی حجمی‌های بالاتر از  $Q_0$  که در قسمت (د) هر شکل نشان داده شده است به سمت گوشش سمت راست و بالا کشیده شده است. از این‌رو با توجه به مقدار دبی پمپ می‌توان حدود متغیرهای بهینه طراحی را به خوبی تشخیص داد.

نتایج جدول ۲ تنها با استفاده از بهینه‌سازی چند هدفی قابل استخراج هستند و به طراح کمک می‌کنند تا از بین نقاط بهینه طراحی با مصالحه بین توابع هدف نقطه بهینه طراحی مورد نظر را انتخاب کنند.

همان طور که از این شکل‌ها مشخص است در هر ویسکوزیته، با افزایش دبی حجمی طول قسمت AC پارتول (متناظر با شکل ۳) کاهش می‌یابد تا جایی که با رسیدن دبی به مقدار مشخص  $Q_0$  کل قسمت AC حذف شده و نمودار پارتول از حالت دو خطی به یک نمودار تک خطی تبدیل می‌شود. از مقایسه شکل‌های ۵، ۶ و ۷ با یکدیگر مشخص است که با افزایش ویسکوزیته سیال عبوری مقدار  $Q_0$  کاهش می‌یابد.

در تمام دبی‌های کمتر از  $Q_0$ ، نمودار پارتول دو خطی بوده و دارای نقطه شکست می‌باشد. همان طور که در بخش ۱-۴ گفته شد نقطه شکست که تنها در بهینه‌سازی چند هدفی بدست می‌آید در مقایسه با نقاط بهینه‌سازی تک هدفی دارای اهمیت ویژه‌ای می‌باشد. مقادیر متغیرهای طراحی و توابع هدف برای نقطه شکست متناظر با نمودارهای پارتول نشان داده شده در شکل‌های ۵ تا ۷ در جدول ۲ ارائه شده‌است. نکته قابل توجه این است که در تمام نقاط شکست مقدار زاویه خروجی پره و مقدار پهنه‌ای پره در خروجی برابر با مقادیر حد پایین خود هستند.

در دبی‌های بیشتر از  $Q_0$ ، نمودار پارتول تبدیل به یک نمودار تک خطی می‌شود، با توجه به اینکه در این نمودارها نقطه شکست وجود ندارد از روش‌های دیگری مانند روش نزدیکترین نقطه به نقطه ایده‌آل و روش تاپسیس استفاده شده است.

**جدول ۲** الف- متغیرهای طراحی بهینه حاصل از بهینه‌سازی چند هدفی برای دبی حجمی‌های مختلف به ازای لزجت‌های مختلف

$f_2$	$f_1$	$b_2$	$\beta_{2B}$	نقطه بهینه روش نزدیکترین فاصله				نقطه بهینه روش نقطه شکست				ویسکوزیته دبی حجمی (m <sup>3</sup> /hr)	(CSt)
				$f_2$	$f_1$	$b_2$	$\beta_{2B}$	$f_2$	$f_1$	$b_2$	$\beta_{2B}$		
۰/۶۵	۱۵/۵۵	۰/۰۱۷	۲۶/۶	۰/۶۵	۱۵/۷	۰/۰۱۷	۲۵/۸	۰/۶۵	۱۵/۸۵	۰/۰۱۷	۲۵	۳۰	
۰/۵۹	۱۴/۹	۰/۰۱۷	۲۹	۰/۶	۱۵/۲۶	۰/۰۱۷	۲۷/۱	۰/۶۱	۱۵/۶۶	۰/۰۱۷	۲۵	۴۰	
۰/۵۵	۱۴/۳۹	۰/۰۱۷	۳۰/۵	۰/۵۷	۱۴/۸۳	۰/۰۱۷	۲۸/۲	۰/۵۸	۱۵/۴۸	۰/۰۱۷	۲۵	۵۰	آب
۰/۵۴	۱۴/۲۷	۰/۰۱۹	۳۰/۷	۰/۵۴	۱۴/۴	۰/۰۱۹	۳۰	....	....	....	....	۶۰	۱=۱
۰/۵۵	۱۴/۸۶	۰/۰۲۱	۲۷/۴	۰/۵۳	۱۴/۳۵	۰/۰۲۱	۲۹/۹	....	....	....	....	۷۰	
۰/۶۷	۱۵/۱۵	۰/۰۱۷	۲۸/۹	۰/۶۸	۱۵/۵	۰/۰۱۷	۲۶/۹	۰/۶۹	۱۵/۸۵	۰/۰۱۷	۲۵	۳۰	
۰/۶۳	۱۴/۶۶	۰/۰۱۷	۳۰/۳	۰/۶۴	۱۵/۰۳	۰/۰۱۷	۲۸/۳	۰/۶۶	۱۵/۶۶	۰/۰۱۷	۲۵	۴۰	
۰/۶۲	۱۴/۶۵	۰/۰۱۹	۲۹/۸	۰/۶۲	۱۴/۶۵	۰/۰۲	۲۹/۸	....	....	....	....	۵۰	روغن
۰/۶	۱۴/۳۳	۰/۰۲۱	۳۱	۰/۶۱	۱۴/۶۶	۰/۰۲۱	۲۹/۳	....	....	....	....	۶۰	۱=۴۳
۰/۶	۱۴/۱۶	۰/۰۲۱	۲۹/۴	۰/۶	۱۴/۴۳	۰/۰۲۱	۳۰	....	....	....	....	۷۰	
۰/۷	۱۵	۰/۰۱۷	۲۹/۷	۰/۷	۱۵/۳	۰/۰۱۷	۲۸	۰/۷۲	۱۵/۸۵	۰/۰۱۷	۲۵	۳۰	
۰/۶۷	۱۴/۷۷	۰/۰۱۸	۳۰	۰/۶۷	۱۴/۸۴	۰/۰۱۸	۲۹/۶	....	....	....	....	۴۰	
۰/۶۶	۱۴/۶	۰/۰۲۱	۳۰/۶	۰/۶۶	۱۴/۸	۰/۰۲۱	۲۹/۵	....	....	....	....	۵۰	روغن
۰/۶۵	۱۴/۳۳	۰/۰۲۱	۳۱	۰/۶۵	۱۴/۶	۰/۰۲۱	۲۹/۶	....	....	....	....	۶۰	۱=۱۰۰
۰/۶۵	۱۴/۲۳	۰/۰۲۱	۳۰/۶	۰/۶۶	۱۴/۴۱	۰/۰۲۱	۲۹/۶	....	....	....	....	۷۰	

ب- متغیرهای طراحی بهینه حاصل از بهینه‌سازی تک هدفی برای دبی حجمی‌های مختلف به ازای لزجت‌های مختلف

$f_2$	$f_1$	$b_2$	$\beta_{2B}$	$f_2$	$f_1$	$b_2$	$\beta_{2B}$	دبی حجمی (m³/hr)	ویسکوزیته (CSt)
۰/۶۸	۱۵/۹۶	۰/۰۲۱	۲۵	۰/۶۵	۱۴/۲۴	۰/۰۱۷	۳۴/۳	۳۰	آب $V=1$
۰/۶۳	۱۵/۸۱	۰/۰۲۱	۲۵	۰/۵۷	۱۳/۸۸	۰/۰۱۷	۳۴/۸	۴۰	
۰/۶	۱۵/۶۳	۰/۰۲۱	۲۵/۱	۰/۵۳	۱۳/۶	۰/۰۱۷	۳۴/۸	۵۰	
۰/۵۸	۱۵/۵	۰/۰۲۱	۲۵	۰/۵۲	۱۳/۳۷	۰/۰۱۸	۳۵	۶۰	
۰/۵۷	۱۵/۳۵	۰/۰۲۱	۲۵	۰/۵	۱۳/۳	۰/۰۲	۳۵	۷۰	
۰/۸	۱۵/۹۶	۰/۰۲۱	۲۵	۰/۶۶	۱۴/۱۵	۰/۰۱۷	۳۴/۹	۳۰	روغن $V=43$
۰/۶۷	۱۵/۷۹	۰/۰۲۱	۲۵/۱	۰/۶۴	۱۳/۸۸	۰/۰۱۷	۳۴/۸	۴۰	
۰/۶۵	۱۵/۶۴	۰/۰۲۱	۲۵/۱	۰/۵۹	۱۳/۶۴	۰/۰۱۸	۳۵	۵۰	
۰/۶۴	۱۵/۴۹	۰/۰۲۱	۲۵/۱	۰/۵۸	۱۳/۵۴	۰/۰۲	۳۵	۶۰	
۰/۶۵	۱۵/۳۵	۰/۰۲۱	۲۵	۰/۵۷	۱۳/۳۸	۰/۰۲۱	۳۵	۷۰	
۰/۷۳	۱۵/۹۶	۰/۰۲۱	۲۵	۰/۶۸	۱۴/۱۸	۰/۰۱۷	۳۴/۷	۳۰	روغن $V=100$
۰/۷	۱۵/۷۹	۰/۰۲۱	۲۵/۱	۰/۶۵	۱۳/۸۷	۰/۰۱۷	۳۴/۹	۴۰	
۰/۶۹	۱۵/۶۵	۰/۰۲۱	۲۵	۰/۶۳	۱۳/۷۸	۰/۰۲	۳۵	۵۰	
۰/۶۹	۱۵/۵	۰/۰۲۱	۲۵	۰/۶۲	۱۳/۶	۰/۰۲۱	۳۵	۶۰	
۰/۷۲	۱۵/۳۵	۰/۰۲۱	۲۵	۰/۶۲	۱۳/۴۲	۰/۰۲۱	۳۴/۸	۷۰	

## ۷- مراجع

- [1] Antonakis N., Dijkers R., "Optimiazation Method for Centrifugal Pump Impellers: Coupling of Hybrid Genetic Optimization and Potential Flow solver", *Proceeding of the 4<sup>th</sup> WSEAS International Conference on Fluid Mechanics and Aerodynamics*, Greece, 2006.
- [2] NarimanZadeh N., Amanifard N., Hajiloo A., Ghalandari P., Hoseinpoor B., "Multi Objective of Centrifugal Pump Using Genetic Algorithms", *Proceeding of the 11<sup>th</sup> WSEAS International Conference on Computers*, Greece, 2007.
- [3] Safikhani H., Khalkhali A., Farajpoor M., "Pareto Based Multi-Objective Optimization of Centrifugal Pumps Using CFD, Neural Networks and Genetic Algorithms", *Engineering Applications of Computational Fluid Mechanics*, Vol. 5, No. 1, 2011, pp. 37-48
- [4] Coello C.A., "A comprehensive survey of evolutionary based multi-objective optimization techniques", *Knowledge and Information Systems: An Int. Journal*, 1999, pp. 269-308.
- [5] Goldberg D. E., *Genetic Algorithms in Search, Optimization, and Machine Learning*, Addison-Wesley, New York, 1989.
- [6] NarimanZadeh N., Khalkhali A., Jamali A., "Optimization of Sandwich PanelsUsing Genetic Algorithms", *Proceeding of the 13<sup>th</sup> International Conference on Mechanic Engineering*, Iran, 2005. (In Persian)

## ۶- نتیجه‌گیری

یکی از بخش‌های مهم در طراحی پمپ گریز از مرکز، انتخاب پارامترهای هندسی مناسب پروانه است. هنگام انتقال سیال لزج توسط پمپ گریز از مرکز به علت ویسکوزیته بالای روغن نسبت به آب، اتلافهای اصطکاکی و در نتیجه اتلافات هیدرولیکیدر پمپ افزایش می‌یابد. همچنین هد پمپ که یکی از پارامترهای اصلی عملکردی پمپ می‌باشد، در اثر افزایش اتلافات هیدرولیکی، کاهش یافته که نتیجه آن کاهش بازده هیدرولیکی پمپ و در نهایت کاهش بازده کلی پمپ خواهد شد. از این‌رو افزایش هد تئوری که نقش اساسی در تعیین مقادیر هد واقعی و بازده هیدرولیکی دارد، به عنوان یکی از اهداف بهینه‌سازی چند هدفی و کاهش اتلافات هیدرولیکی پروانه که بخش وسیعی از اتلافات هیدرولیکی پمپ را شامل می‌شود به عنوان هد دوم در این مقاله گرفته شدند. در این فرایند بهینه‌سازی، زاویه خروجی پره ( $\beta_{2B}$ ) و پهنه‌ی پاساز پره در خروجی آن ( $b_2$ ) به عنوان متغیرهای طراحی در نظر گرفته شدند و از الگوریتم NSGA II استفاده شد. نتایج بیانگر نکات مهمی هستند که تنها با به کار بردن روش بهینه‌سازی چند هدفی قابل استخراج می‌باشند.

- [11] Khalkhali A., Safikhani H., "Pareto Based Multi-Objective Optimization of Cyclone Vortex Finder using CFD GMDH Type Neural Networks and Genetic Algorithms", *Engineering Optimization*, Vol. 44, No. 1, July 2011, pp. 105-118.
- [12] Khalkhali A., Farajpoor M., Safikhani H., "Modeling and Multi-Objective Optimization of Forward-Curved Blades Centrifugal Fans using CFD and Neural Networks", *Transaction of the Canadian Society for Mechanical Engineering*, Vol. 35, No. 1, January 2011, pp. 63-79.
- [13] Khalkhali A., Mousavi S., "Multi-objective Crashworthiness Optimization of the Aluminum Foam-filled Tubes", *International Journal of Automotive Engineering*, Vol. 2, No. 3, July 2012, pp. 193-206.
- [14] Shojaeefard M. H., Tahani M., Ehghaghi M. B., Fallahian M.A., Beglari M., "Numerical study of the effects of some geometric characteristics of a centrifugal pump impeller that pumps a viscous fluid", *Computers & Fluids*, 2012, pp. 61-70.
- [15] Gulich J.F., *Centrifugal pumps*, Springer-Verlag, Berlin Heidelberg, New York, 2008, ISBN 978-3-540-73694-3
- [7] Khalkhali A., NarimanZadeh N., Jamali A., "Multi-Objective Optimization of Sandwich Panels Using Finite Element and Genetic Algorithms", *Proceeding of the 16<sup>th</sup> International Conference on Mechanic Engineering*, Iran, 2008. (In Persian)
- [8] Hoseinalipour S.M., Mehrpanahi A., Mobini K., "Investigation of Full Repowering Effects on Techno-Economic Properties of a Steam Power Plant", *Scientific Research Monthly Journal of Modares Mechanical Engineering*, Vol. 11, No. 1, 2011, pp. 1-18. (In Persian)
- [9] Deb, K., Agrawal, S., Pratap, A., Meyarivan, T., "A fast and elitist multi-objective genetic algorithm: NSGA-II", *IEEE Trans. on Evolutionary Computation*, Vol. 6, No. 2, 2002, pp. 182-197.
- [10] Atashkari K., Plilechi A., Jamali A., Yao X., "Thermodynamic Pareto Optimization of Turbojet Engines using Multi-objective Genetic Algorithms", *International Journal of Thermal Sciences*, Elsevier, Vol 44, No. 11, 2005, pp. 1061-1071.